

1/11

Fig. 1

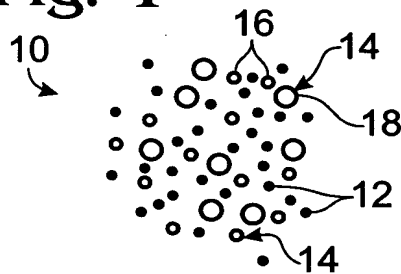


Fig. 2

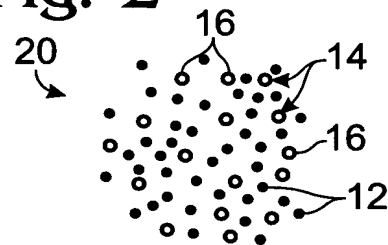


Fig. 3

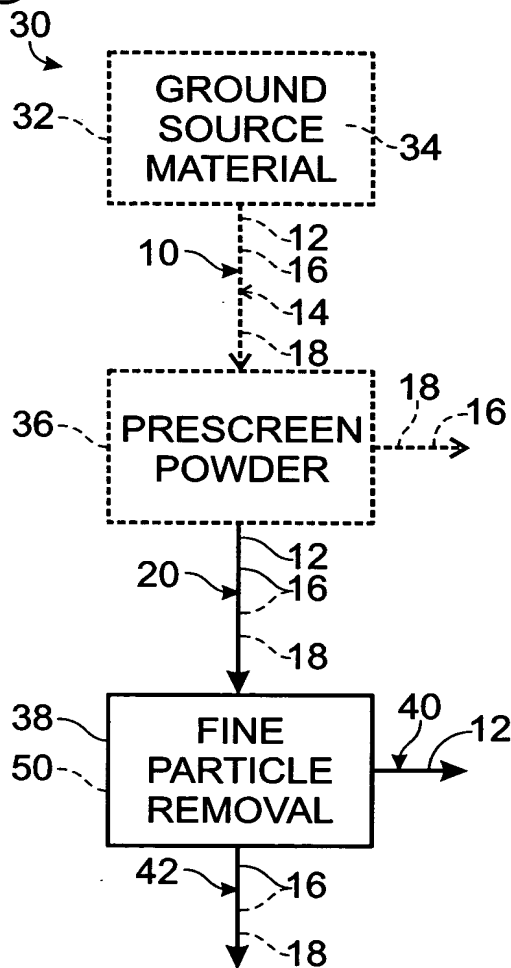


Fig. 4

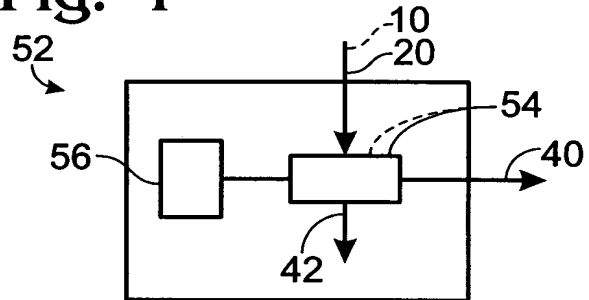


Fig. 7

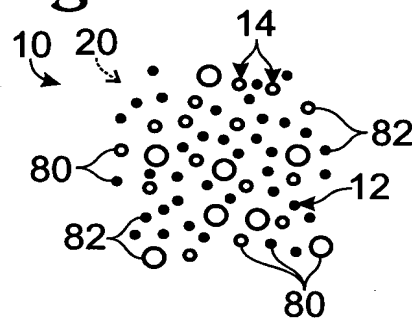
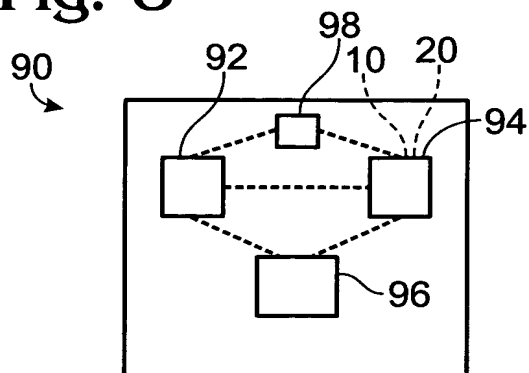


Fig. 8



2/11

Fig. 5

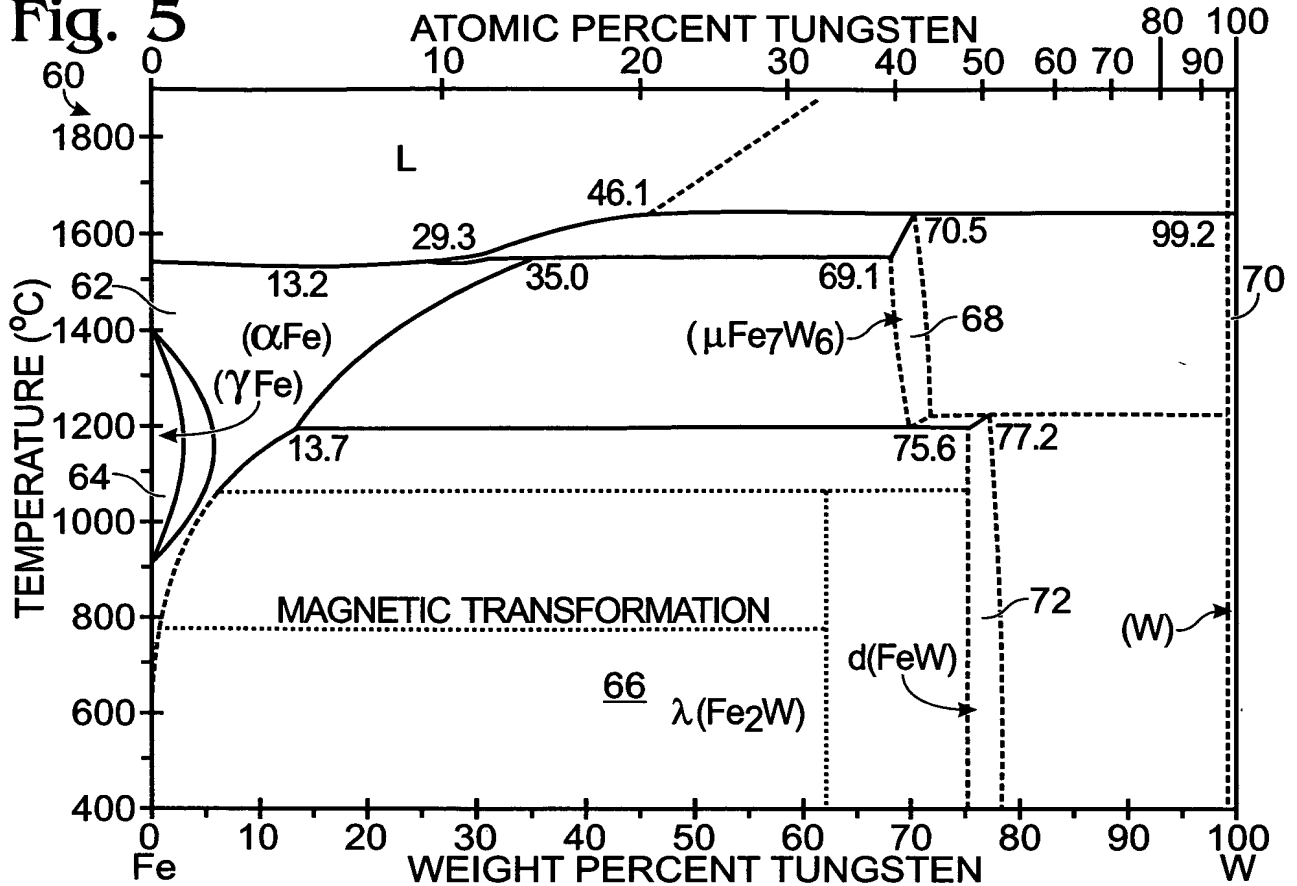


Fig. 6

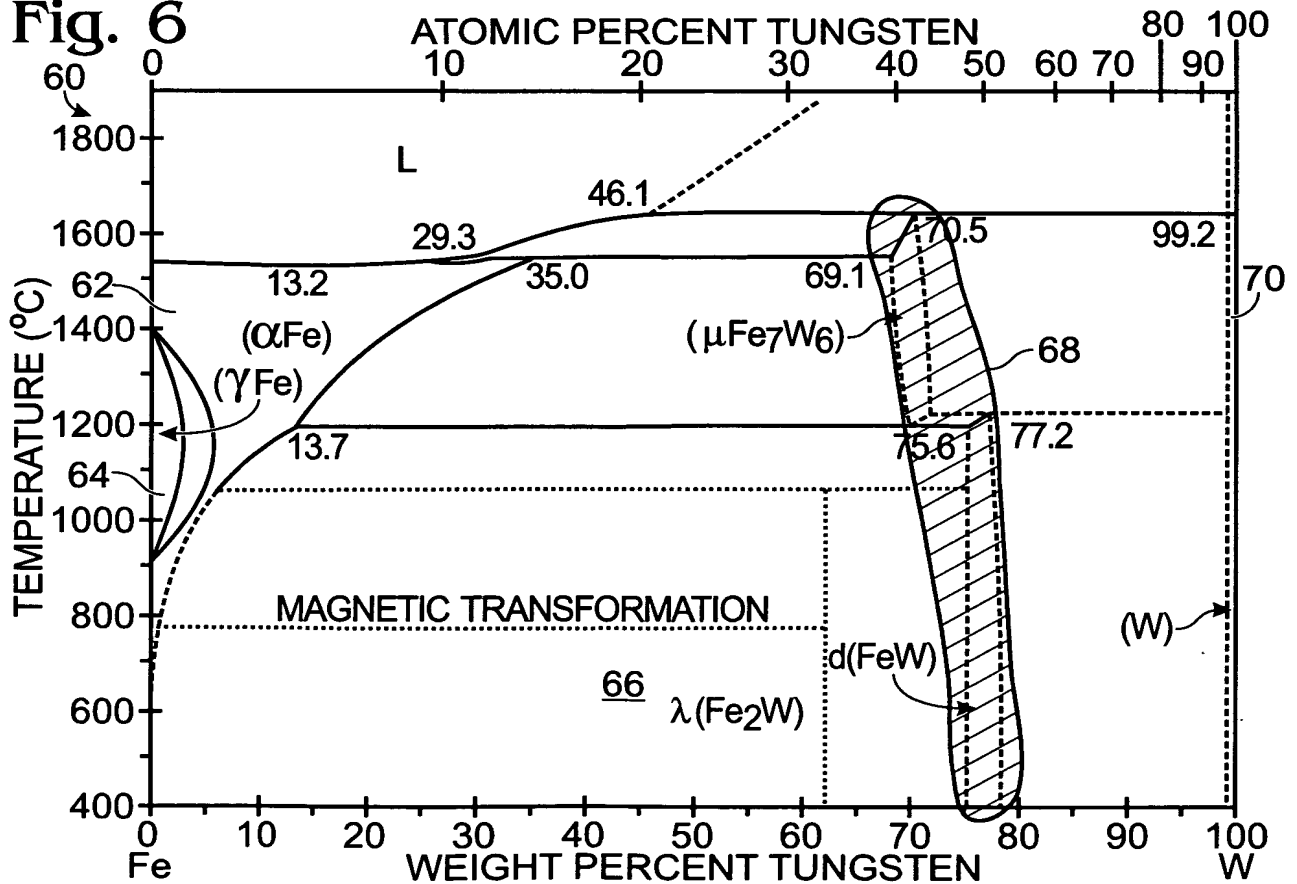


Fig. 9

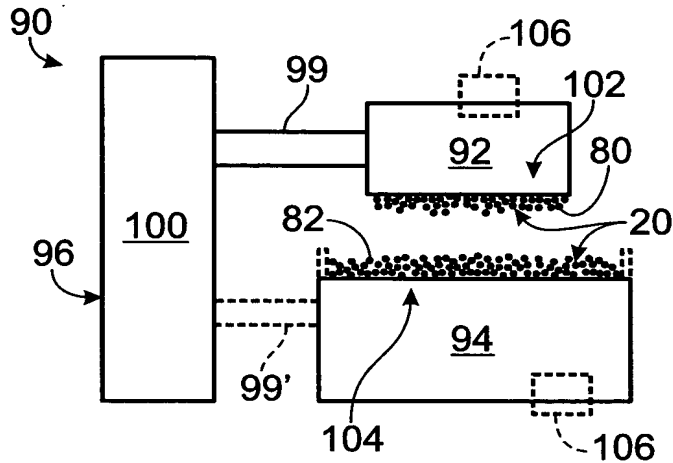


Fig. 10

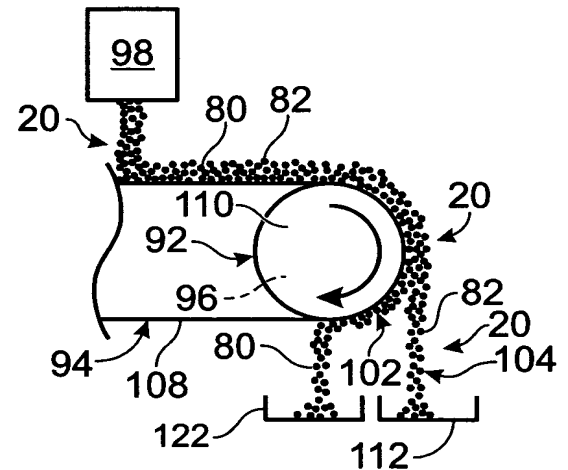


Fig. 11

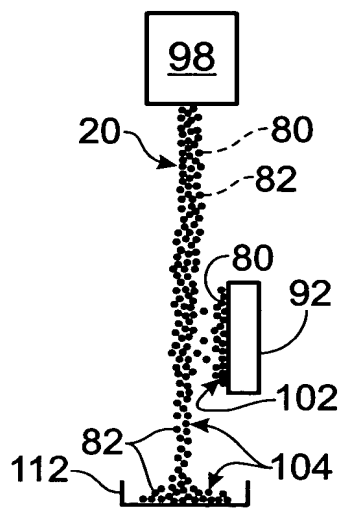
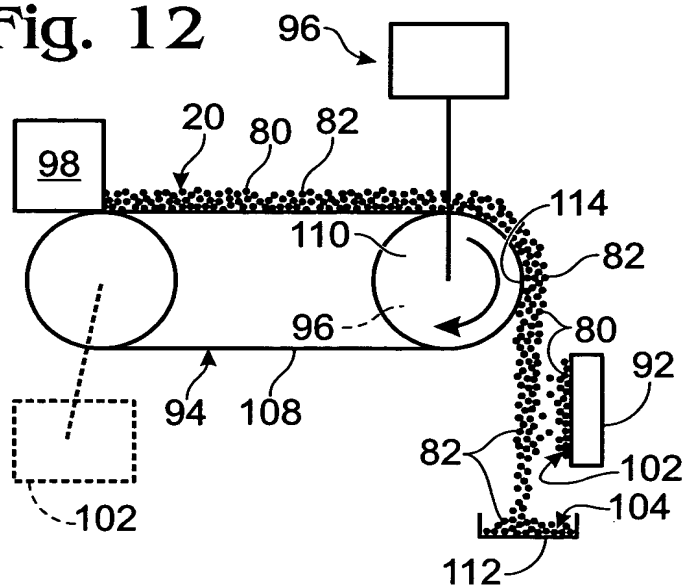


Fig. 12



4/11

Fig. 13

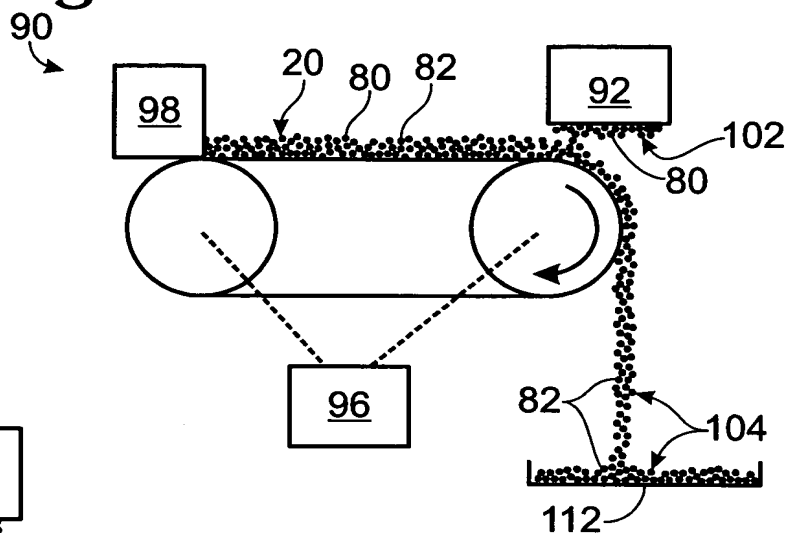


Fig. 14

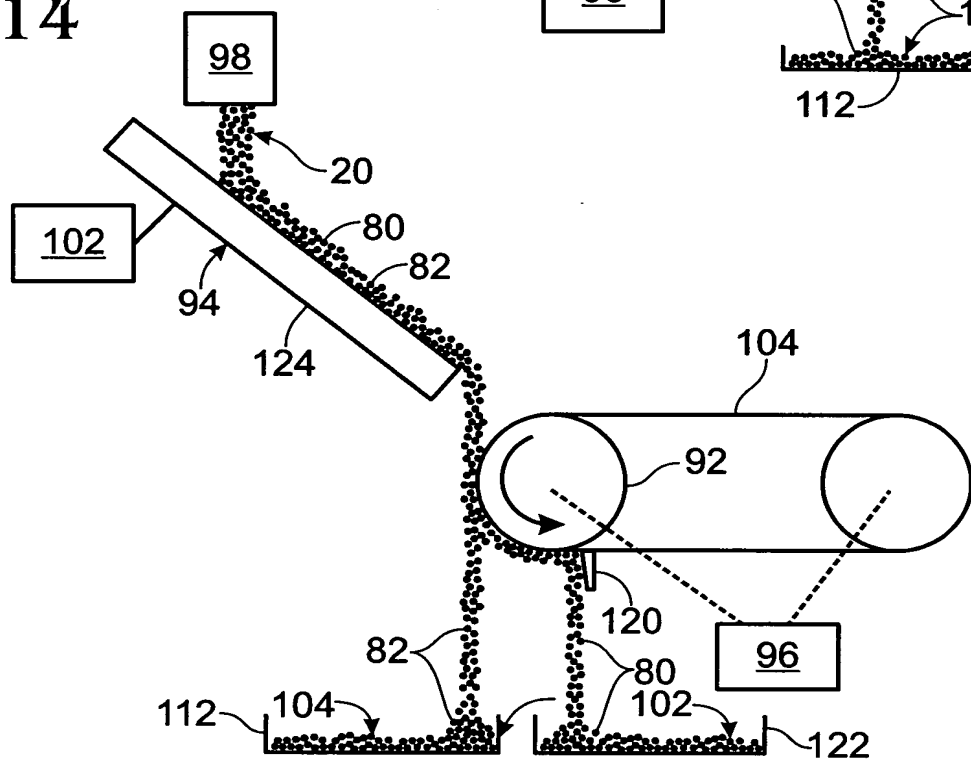
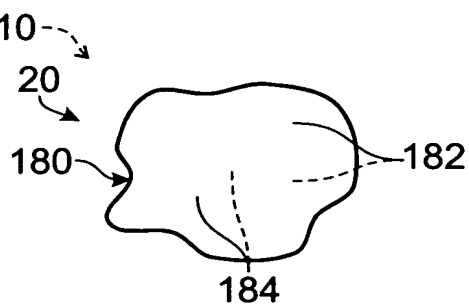


Fig. 15



5/11

Fig. 16

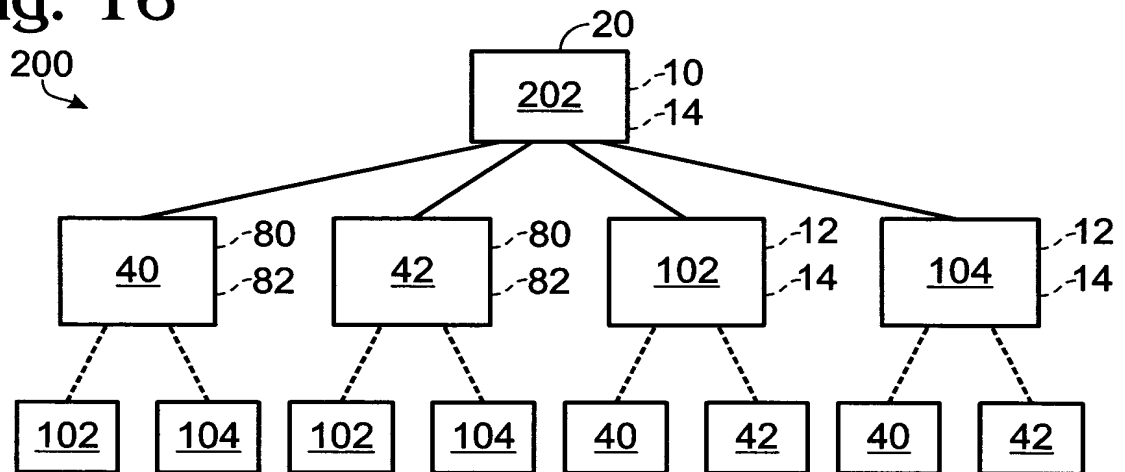
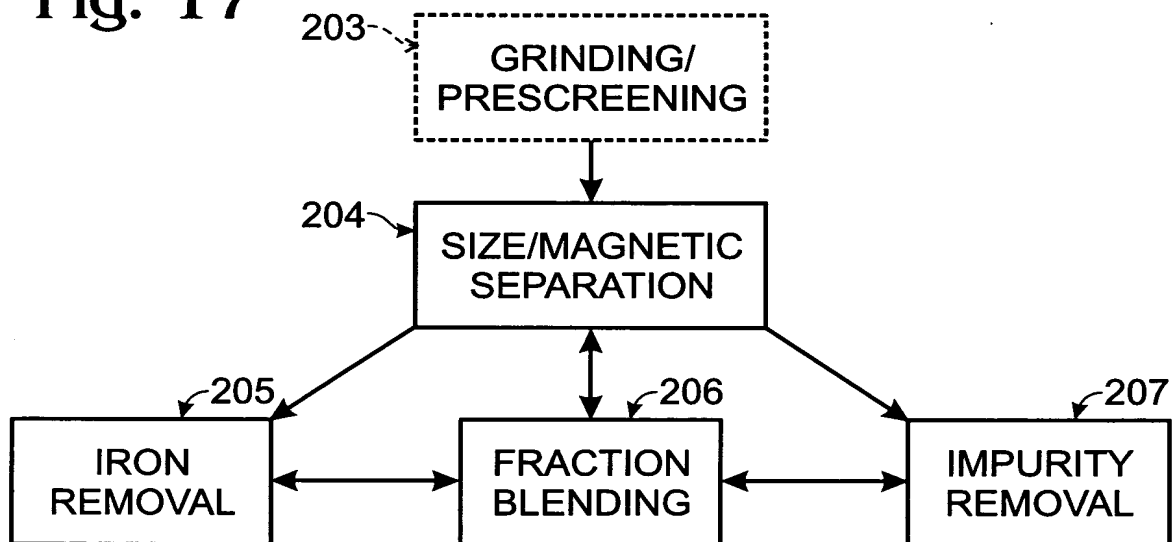


Fig. 17



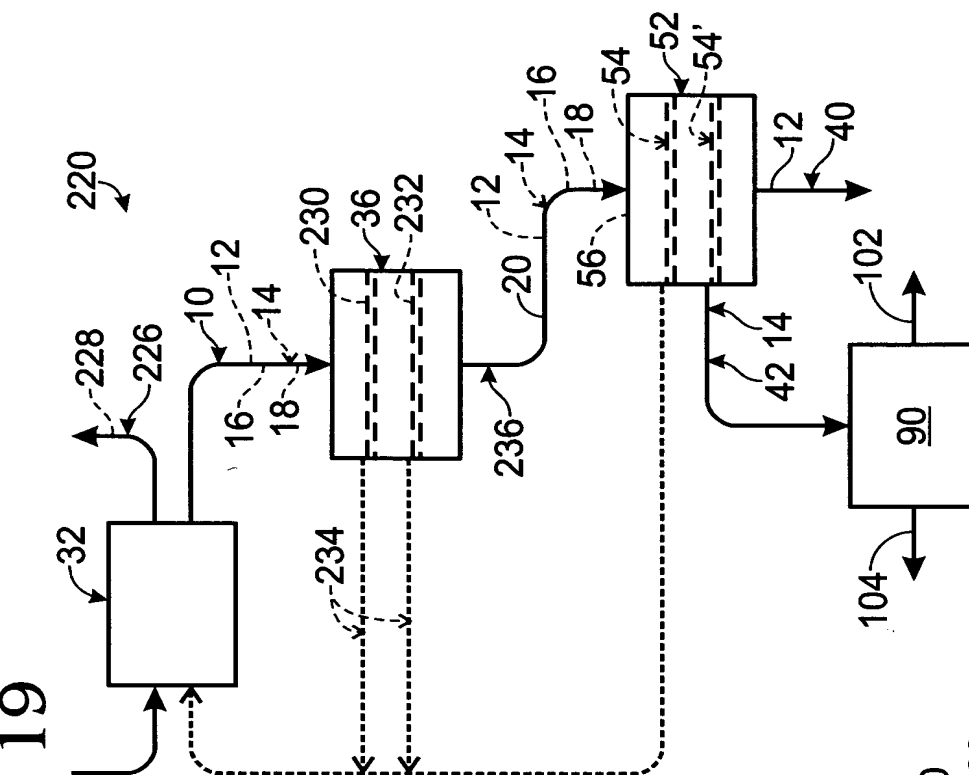
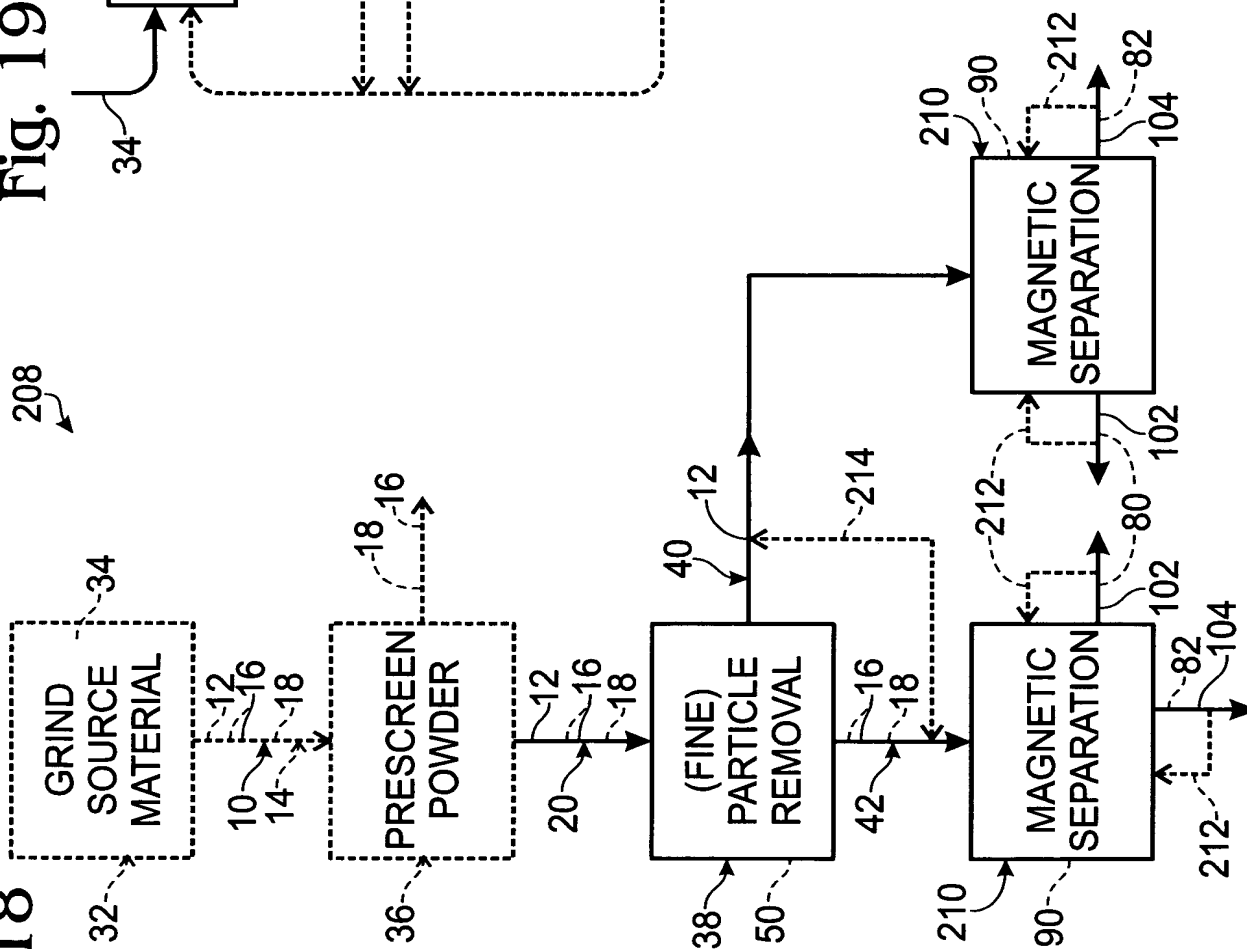


Fig. 18



7/11

Fig. 21

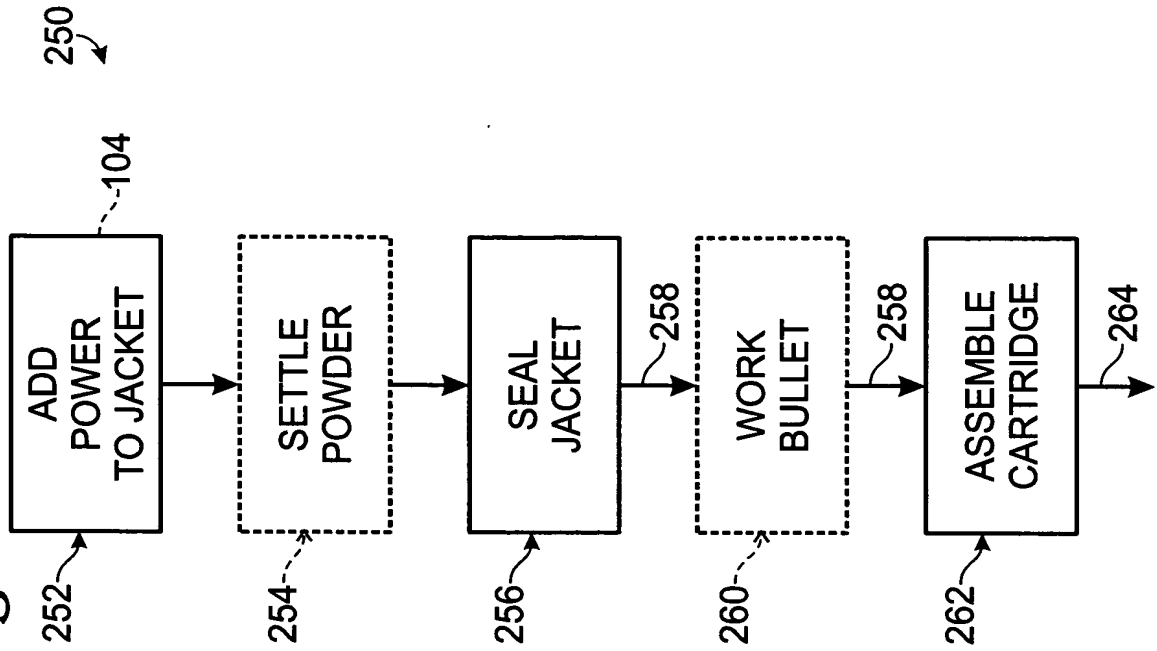
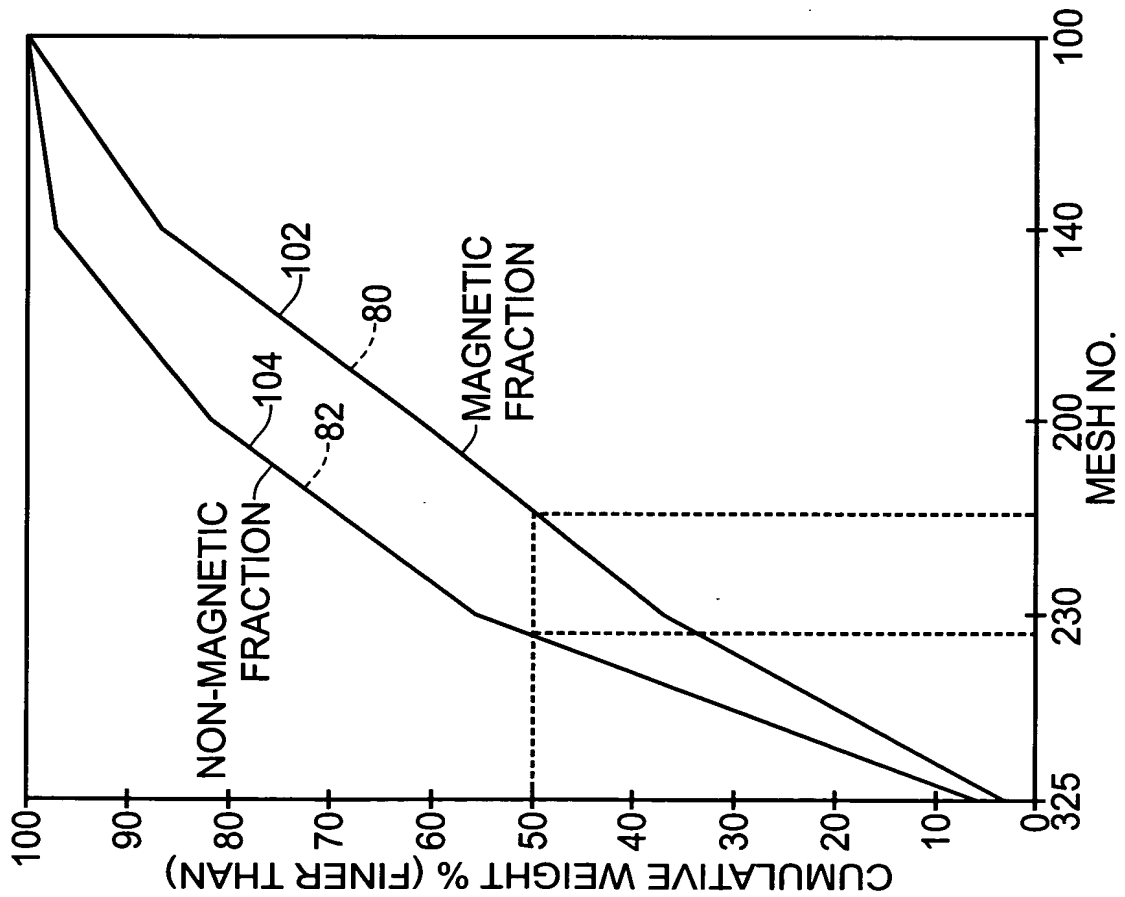


Fig. 20



8/11

Fig. 23

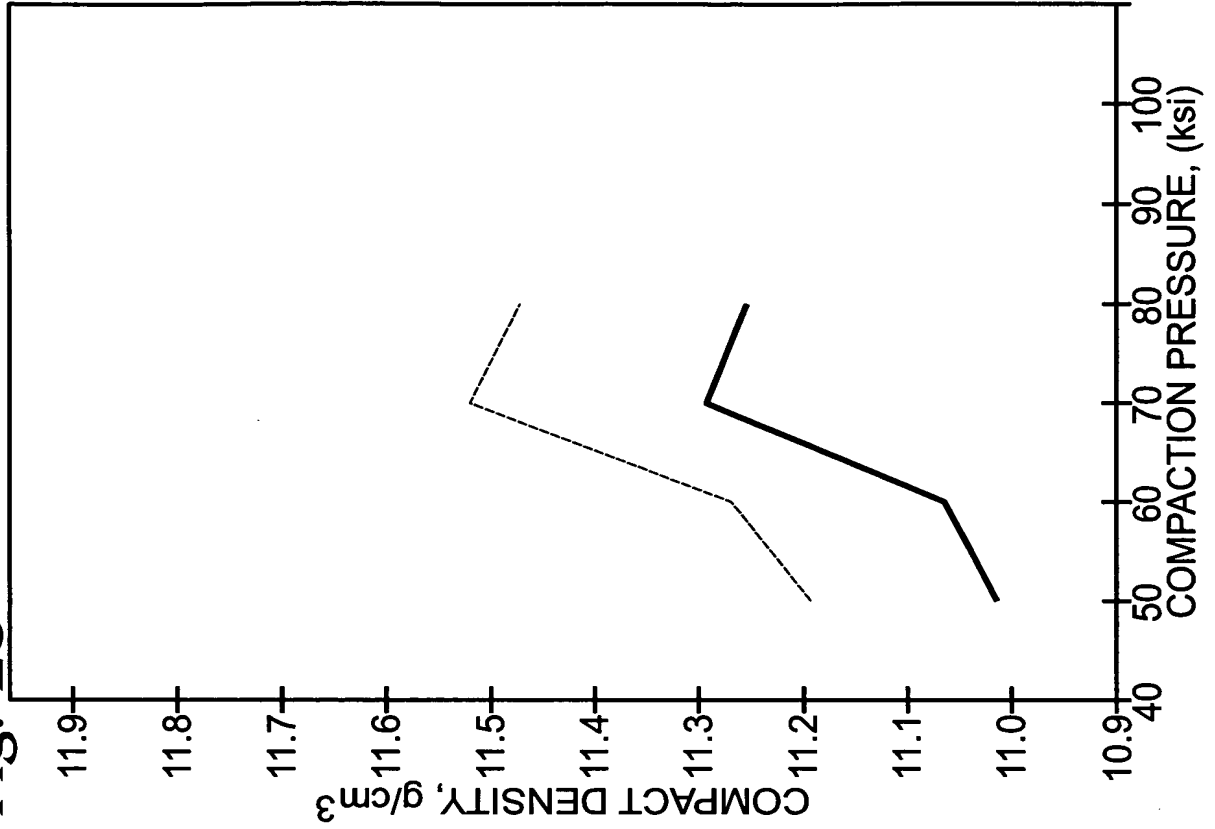
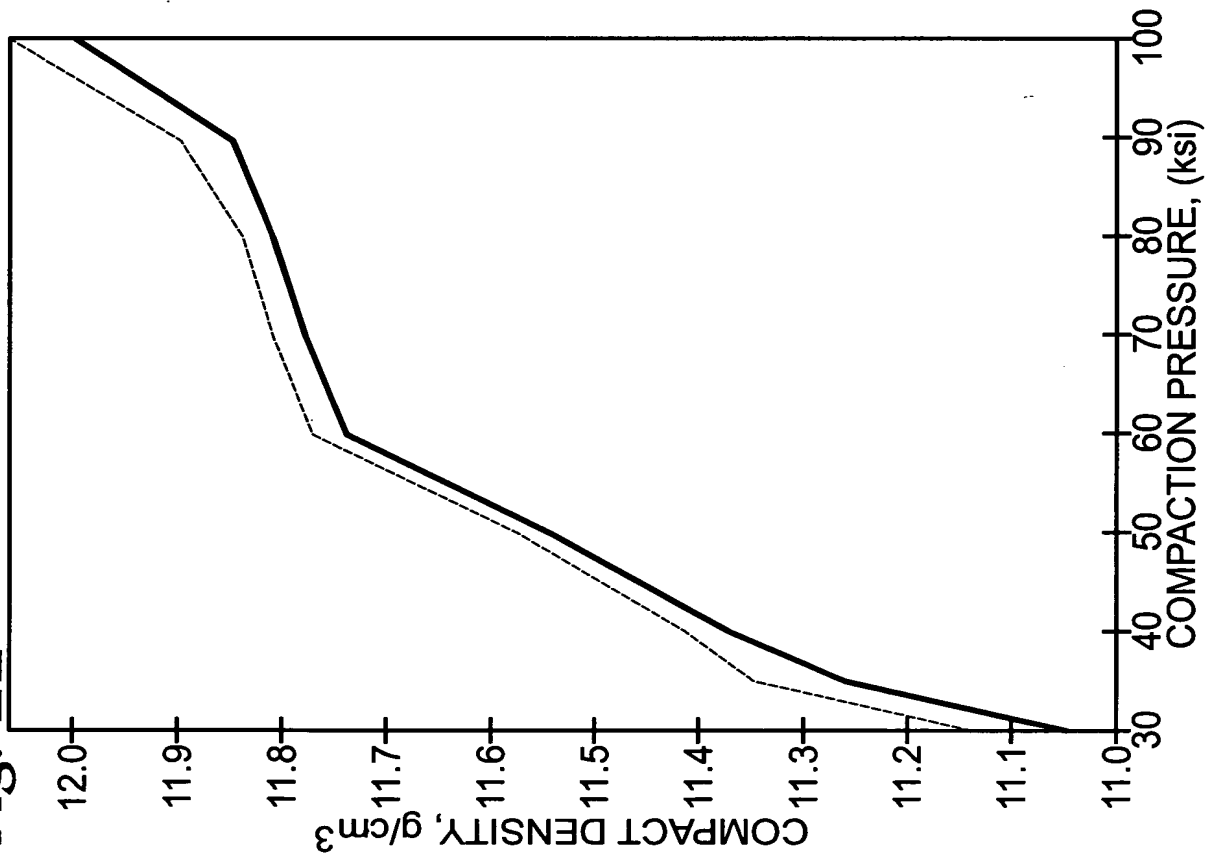


Fig. 22



9/11

Fig. 25

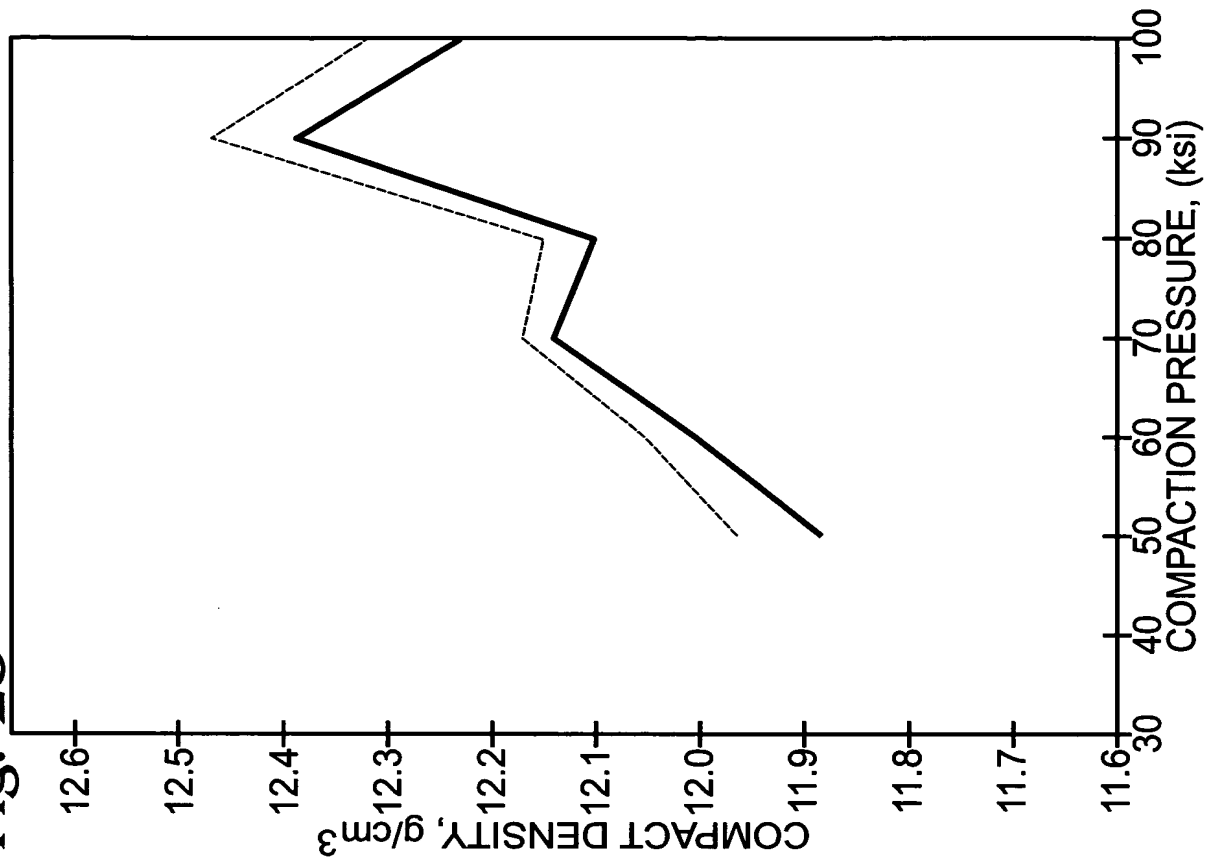
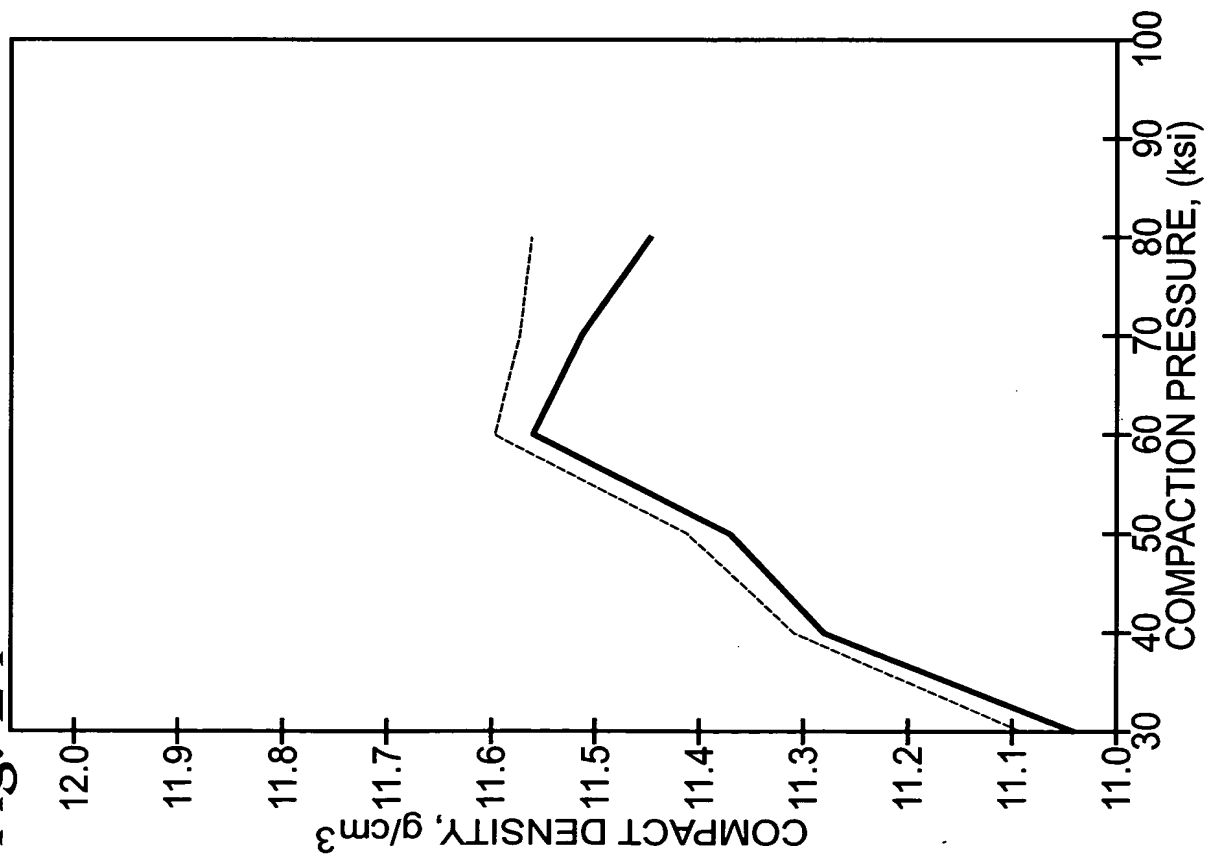
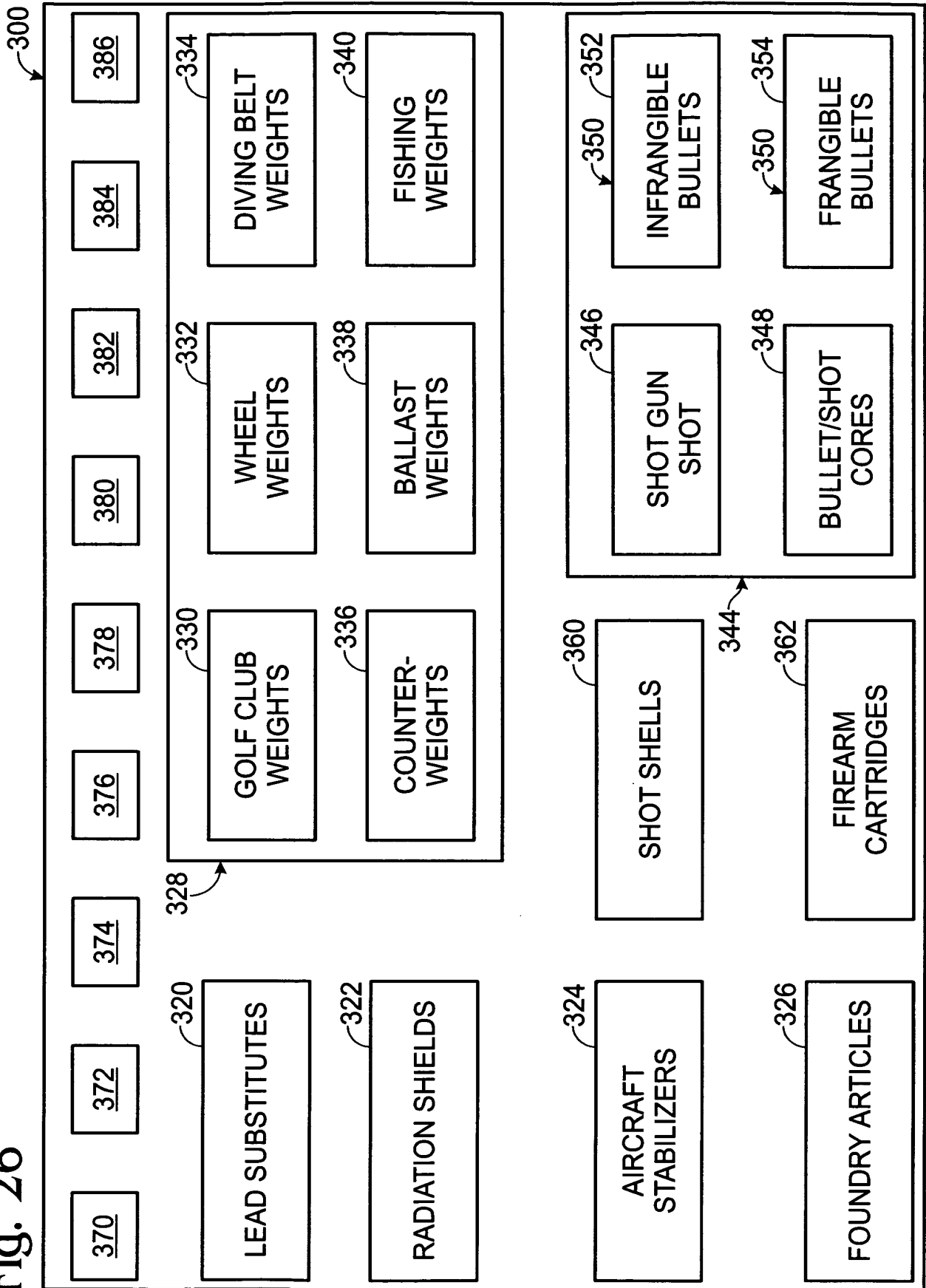


Fig. 24



10/11

Fig. 26



11/11

Fig. 27

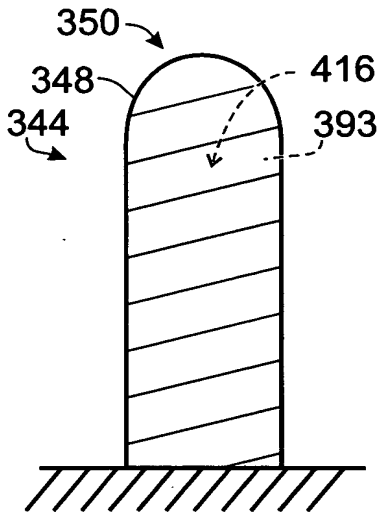


Fig. 28

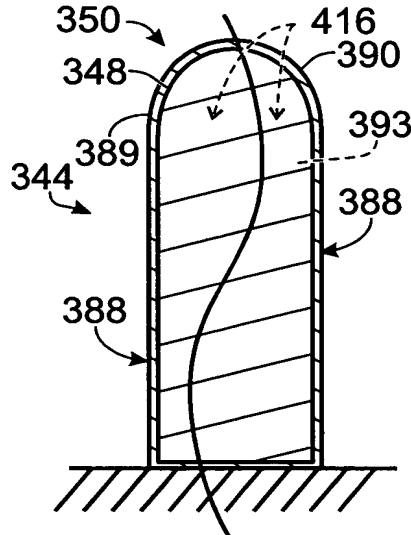


Fig. 29

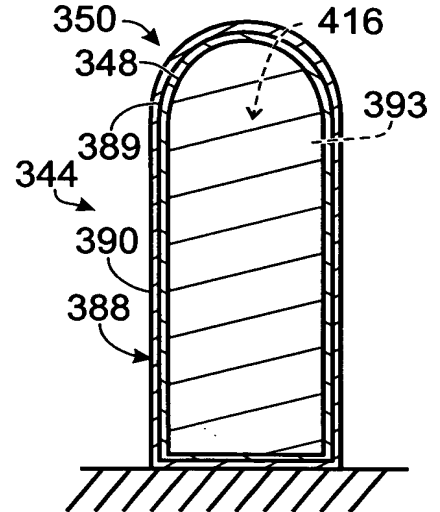


Fig. 30

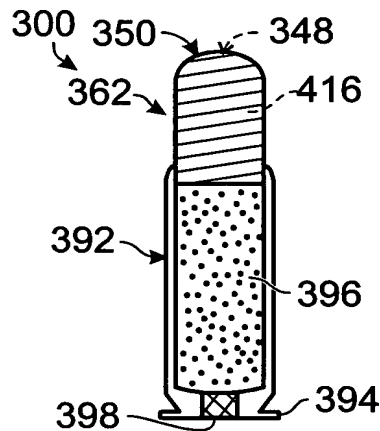


Fig. 31

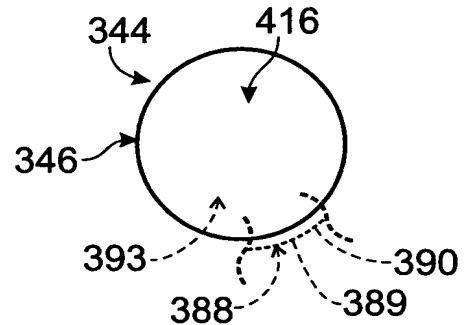


Fig. 32

